

удваивается и т.д. [4]. При изменении знака приращения размеров шага квантования уменьшается. Таким образом, микроконтроллер управляющий размером шага квантования должен анализировать плотность сигнала знака приращений $y(k)$. На выходе ЦАП при изменении коэффициента усиления в зависимости от плотности сигнала знака приращений $y(k)$ будет формироваться ступенчатое напряжение с адаптивно изменяющимся шагом квантования. При этом, время преобразования не будет превышать нескольких интервалов дискретизации, но придется мириться с эпизодически появляющейся ошибкой до четырёх значений МЗР.

Преобразователь с фотоприемником компенсационного типа и использование «преобразования с предсказанием» характеризуется малым временем преобразования (несколько интервалов дискретизации) и шумом дискретизации около ± 2 МЗР.

Описанный измерительный преобразователь может использоваться не только с

фотоприемниками, но и с другими сенсорами, использующими компенсационные способы формирования измерительного сигнала.

1. Vorobey, R.I. / R.I. Vorobey, O.K. Gusev, A.K. Tyavlovsky, K.L. Tyavlovsky, A.I. Svistun, L.I. Shadurskaya, N.V. Yarzhembitskaya, K. Kierczynski // Photoelectric semiconductor converters with a large dynamic range. // Przeglad electrotechniczny, – Nr 5/2014, – Pp. 75–78.
2. Гусев, О.К. Методология и средства измерений параметров объектов с неопределенными состояниями / О.К. Гусев [и др.]; под общ. ред. О.К. Гусева. – Минск: БНТУ, 2010. – 582 с.
3. Гусев О. К., Тявловский К. Л., Воробей Р. И., Свистун А. И., Шадурская Л. И. Фотоприемники на основе собственных полупроводников для построения измерительных преобразователей. // Метрология и приборостроение. – 2017. – № 2. – С. 34–42.
4. Зюко, А.Г. Теория электрической связи. А.Г. Зюко, Д.Д. Кловский, В.И. Коржик, М.В. Назаров; под ред. Д.Д. Кловского. – М.: Радио и связь, 1998. – 432 с.

УДК 621.382

ОПТИКО-ЭЛЕКТРОННЫЙ КОМПАРАТОР НА БАЗЕ ДВУХБАРЬЕРНОГО ФОТОПРИЕМНИКА С ДЛИНОЙ БАЗОЙ

Воробей Р.И.¹, Гусев О.К.¹, Жуковский П.², Зданович С.В.¹, Колтунович Т.², Опеляк М.²,
Свистун А.И.¹, Тявловский К.Л.¹, Шадурская Л.И.¹

¹ Белорусский национальный технический университет, Минск, Республика Беларусь

² Люблинский технический университет, Люблин, Польша

Оптические компараторы применяют для контроля изделий методом сравнения изображения изделия с эталонным изображением. Применяя светофильтры, ошибки разного знака можно характеризовать различными цветами, что обеспечивает повышение чувствительности, но не снижает утомляемости и не исключает субъективных оценок оператора [1]. В оптико-электронных компараторах сравниваются не собственно изображения, а сигналы, несущие информацию о наиболее важных свойствах изображения. В простейшем случае используются два фотоприёмника, сигналы с выхода которых поступают на входы обычного электронного компаратора для формирования признака равенства оптических сигналов в виде выходного электрического сигнала заданного уровня. Недостатком таких компараторов является низкое быстродействие и невозможность сравнения оптических сигналов по нескольким параметрам одновременно. Оптические компараторы, образованные связанными волноводными разветвлениями [2], характеризуются высоким быстродействием, но имеют сложную конструкцию, приводящую к оптическим потерям и также не позволяют сравнивать изображения по нескольким параметрам.

Некоторые многофункциональные одноэлементные фотоэлектрические преобразователи (ФЭП) [3], например, поверхностно-барьерные структуры с двумя потенциальными барьерами, сформированные с противоположных сторон приборной структуры, и образующие два встречно включенных диода Шоттки разделенных длинной базой (рисунок 1,а), демонстрируют немонотонную зависимость (рисунок 1,б) выходного сигнала от длины волны λ , интенсивности света I , величины приложенного напряжения V и геометрического смещения Δz , спроектированного изображения от фронтальной к тыльной плоскости структуры [4]. Такая структура представляет собой по существу функциональный преобразователь, в котором взаимосвязь четырех параметров I , λ , V , Δz дает возможность функционального выражения одной физической величины через другую (или совокупность нескольких величин) и использования прибора в качестве фотоприемника для сравнения интенсивностей излучения в разных спектральных диапазонах, детектора длины волны монохроматического излучения и др. приема и передачи информации, координатно-чувствительного элемента.

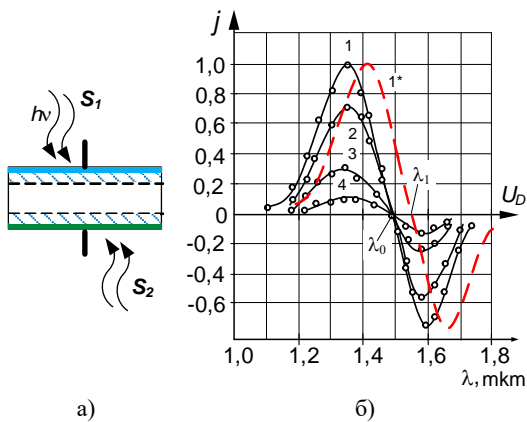


Рисунок 1 – Структура одноэлементного двухбарьерного ФЭП (а) и спектральные характеристики фототока короткого замыкания преобразователя ($Ni-nGe(Cu)-Ni$) для различных плотностей мощности оптического излучения: 1 – $J = 10 \text{ мкВт/см}^2$, 2 – $J = 5 \text{ мкВт/см}^2$, 3 – $J = 3 \text{ мкВт/см}^2$, 4 – $J = 1,5 \text{ мкВт/см}^2$ (б)

При освещении с одной стороны двухбарьерный ФЭП характеризуется линейной передаточной характеристикой интенсивности света I и нелинейной характеристикой чувствительности к длине волны [4] вследствие поглощения света по глубине структуры, отражения от передней и тыльной сторон структуры и т.д. Однако при освещении ФЭП с двух сторон оптическим сигналом S_1 анализируемого изображения и сигналом S_2 опорного изображения нелинейности передаточных характеристик взаимно компенсируются и выходной сигнал J будет равен нулю при равенстве оптических сигналов S_1 , S_2 по обоим параметрам: интенсивности и длины волны света.

Если выводы на противоположных сторонах ФЭП выполнить не в виде полупрозрачных электродов на всей поверхности структуры, а в виде совокупности электродов 1–4 и 5–6, размещенных по контуру структуры (рисунок 2), то такой ФЭП будет чувствителен также к форме и положению элементов изображения относительно центра структуры [3]. Координатно-чувствительный ФЭП будет формировать нулевой выходной электрический сигнал, как ФЭП со сплошными электродами, при равенстве I , λ и Z , где Z – параметры формы и местоположения изображения на чувствительной поверхности ФЭП.

Изменение смещения на парах электродов 1–2 и 3–4 до достижения условия равенства нулю выходного тока, позволит определить возможные смещения изображений, формирующих сигналы S_1 , S_2 по координатам X , Y . Изменение смещения между электродами 1–4 и 5–8 также до достижения условия равенства нулю выходного тока, позволит определить изменения максимумов в спектре излучения изображений 1 и 2 (λ_0 и λ_1 на рисунке 1, б).

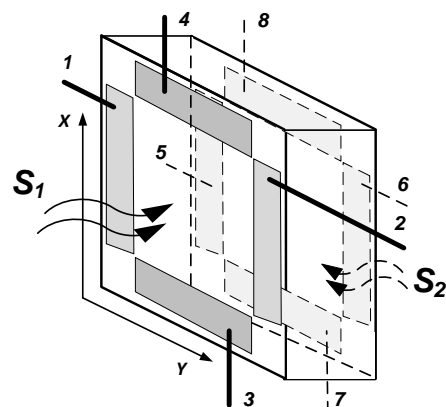


Рисунок 2 – Оптико-электронный компаратор на базе одноэлементного двухбарьерного координатно-чувствительного ФЭП

Дополнительно параметрами преобразования оптико-электронного компаратора, если в качестве основы ФЭП используется собственный полупроводник слабо легированный глубокой примесью, формирующей несколько уровней с различными зарядовыми состояниями, можно управлять, используя внешнее оптическое излучение [5]. Изменяя интенсивность излучения из области собственного поглощения можно управлять концентрацией примеси в различных зарядовых состояниях с разными уровнями энергии ионизации. В зависимости от плотности мощности оптического сигнала (дополнительного, или основного, сигналов S_1 , S_2) реализуются различные зарядовые состояния многозарядной примеси. Основой применения управляемых структур является изменение времени жизни и подвижности неравновесных носителей заряда в результате их перераспределения по уровням рекомбинации и прилипания многозарядной примеси. Например, одноэлементная структура с расширенным и переключаемым диапазоном энергетической характеристики работает следующим образом: при изменении мощности оптического излучения происходит изменение концентрации зарядовых состояний примеси с разными энергиями ионизации и автоматическое переключение между уровнями по мере их заполненности, соответственно мощности оптического излучения. Результатом является расширение динамического диапазона чувствительности ФЭП и реализация автоматического переключения передаточной характеристики фоточувствительности. Изменение интенсивности управляющей подсветки позволяет изменять относительную чувствительность фотоприемного устройства к излучению в диапазоне длин волн $\lambda_1\dots\lambda_n$ из области примесного поглощения (от 1,5 до 12 мкм).

В зависимости от требуемых диапазонов чувствительности оптико-электронного компаратора по мощности и спектральному составу

сравниваемых оптических сигналов, ФЭП может быть выполнен на базе различных полупроводниковых материалов и с различной технологией формирования приборных структур. При этом реализация различных характеристик преобразования предложенного оптико-электронного компаратора производится с использованием одноэлементной полупроводниковой структуры без необходимости использования дополнительных оптических элементов.

1. Клюев В.В. Неразрушающий контроль и диагностика (изд.2-е, доп.) – М.: Машиностроение, 2003 – 657 с.
2. Соколов С.В. Оптический компаратор Пат. РФ № 2020551 Кл. G06E3 – 1994
3. Гусев, О.К. Методология и средства измерений параметров объектов с неопределенными

состояниями / О.К. Гусев [и др.]; под общ. ред. О.К. Гусева. – Минск: БНТУ, 2010. – 582 с.

4. Гусев О. К., Тявловский К. Л., Воробей Р. И., Свистун А. И., Шадурская Л. И. Фотоприемники на основе собственных полупроводников для построения измерительных преобразователей. // Метрология и приборостроение. – 2017, № 2. – С. 34–42
5. Фотоприемное устройство, управляемое подсветкой: патент № 15840 РБ, МПК H 01L 31/16 / О.К. Гусев, Р.И. Воробей, А.И. Свистун, А.К. Тявловский, К.Л. Тявловский, Л.И. Шадурская, Н.В. Яржембицкая; заявл. 03. 30. 2010; зарегистр. 26. 01. 2012
6. Vorobey, R.I. / R.I. Vorobey, O.K. Gusev, A.K. Tyavlovsky, K.L. Tyavlovsky, A.I. Svistun, L.I. Shadurskaya, N.V. Yarzhembitskaya, K. Kierczynski // Photoelectric semiconductor converters with a large dynamic range. // Przeglad electrotechniczny, – No 5/2014, – Pp. 75–78.

УДК 614.1/519.25

КОМПЬЮТЕРНЫЕ ПРОГРАММНО-АППАРАТНЫЕ КОМПЛЕКСЫ ДЛЯ АВТОМАТИЗИРОВАННОЙ ОБРАБОТКИ ИЗОБРАЖЕНИЙ В РАЗЛИЧНЫХ ОБЛАСТЯХ СПЕКТРА С ВЫСОКИМ ПРОСТРАНСТВЕННЫМ РАЗРЕШЕНИЕМ

Иванов В.И., Иванов Н.И., Лазарчик А.Н.

НИИ ядерных проблем БГУ

Минск, Республика Беларусь

Разработанные компьютерные комплексы представляют собой многофункциональную программно – аппаратную платформу для автоматизированного анализа различных изображений с использованием микроскопов, рисунок 1 и компьютерных двухкоординатных сканеров, рисунок 2 для оцифровки и обработки различных снимков и изображений материальных структур на пленках, стеклах и чипах.



Рисунок 1 – Аппаратная конфигурация комплекса с микроскопом



Рисунок 2 - Двухкоординатный компьютеризированный сканер комплекса

Программно – математическое обеспечение комплексов имеет русскоязычный интерфейс и обеспечивает выполнение следующих функций:

- Электронную сканирующую микросъемку и ввод цифровых изображений, включая микроизображения гистологических и цитогенетических биопрепаратов, а также препаратов с флуоресценционно меченными ДНК – маркерами. Шаг сканирования 0,2 мкм; поле сканирования 25 x 85мм. Оцифровка изображений осуществляется цветными высокоразрешающими цифровыми камерами (3,5–18 мегапиксел) в истинных и псевдовсветах в различных областях спектра видимого и ультрафиолетового диапазонов.

- Ввод и обработку ряда разноспектральных изображений с автоматической и ручной коррекцией сдвига исходных изображений.

- Три метода суммирования разноспектральных изображений для получения результирующего изображения: простое суммирование, суммирование фрагментов и наложение фрагментов в результирующем изображении.

- Возможность независимого изменения параметров всех разноспектральных изображений: яркости, контраста, четкости и т.д.

- Выбор произвольного цвета для псевдоокраски исходных черно - белых изображений.

- Возможность просмотра и редактирования как результирующего, так и любого исходного изображения.

- Автоматическую сегментацию изображения с выделением изолированных объектов,